

マイクロコンピュータによる Fire 符号の高速復号法†

岡野 博 一††

マイクロコンピュータが飛躍的に発展し、データ通信の端末としても用いられている。したがって、通信回線の信頼度を高めるために、符号理論の手法をマイクロコンピュータのソフトによって実現することができれば、経済的で柔軟なデータ通信システムが構成され得る。

本論文において、マイクロコンピュータによる Fire 符号の高速復号法として3つの方法を提案している。

第1に、高速シフト演算法は中国人の剰余定理を用いて復号を行う。本質的には、テーブルは必要としないが、演算時間は長くなる。

第2に、圧縮形テーブル・ルックアップ法はシンδροームを求める演算を剰余表を用いて行い、誤りの訂正は誤りパターンのみを格納している圧縮復号表を用いて行う。復号時間が非常に短くなるが訂正可能バースト長が長くなると圧縮復号表が大きくなる。

第3に、ハイブリッド演算法はシンδροームを求める演算を剰余表を用いて行い、誤りの訂正は高速シフト演算法と同様にして行う。この場合、復号時間は短く、小さいテーブルを必要とするのみである。

さて、以上3つの方法のうちで、ハイブリッド演算法が復号時間、メモリ容量等総合的に評価した場合、最も優れており、マイクロコンピュータのソフトによる実用化が可能である。

1. ま え が き

最近、通信や計算機システムなどのデジタルシステムに符号理論が実用されるようになった。すでに実用に供されているのは、計算機の主記憶に用いられている単一誤り訂正/2重誤り検出符号など誤り訂正能力の低いものが主である。通信、監視制御関係において広く実用化されている符号も2重あるいは3重誤り訂正符号にとどまっている。しかし、より高い訂正能力を持つとともに復号の簡単な符号の研究がなされている^{5),6)}。これらの研究は主としてハード面から検討されている。一方、近年、マイクロコンピュータはデータ通信の端末としても用いられるようになってきており、マイクロコンピュータのソフトによって符号理論を実現させることも重要な課題である。

筆者は、主としてソフト面から符号理論の研究を行っており、すでに、PL/1 およびマイクロコンピュータのアセンブリ言語を用いて Fire 符号のソフト化を行った^{9),11)}。ソフトによれば、特に有効なテーブルを用いることにより簡単な復号が行える可能性がある。

本論文において、マイクロコンピュータを用いた Fire 符号の高速復号法として、高速シフト演算法、圧縮形テーブル・ルックアップ法、ハイブリッド演算法を提案し、ソフトによる実用化が可能であることを

示している。

なお、使用した言語はマイクロコンピュータ PFL-16A のアセンブリ言語である。

2. Fire 符号と高速復号法

Fire 符号の詳細については省略する¹⁾⁻⁴⁾。本論文で用いた Fire 符号の生成多項式は次式で表わされる。

$$\begin{aligned} P(x) &= P_m(x) \cdot (x^c + 1) \\ &= (x^3 + x + 1) \cdot (x^5 + 1) \\ &= x^8 + x^6 + x^5 + x^3 + x + 1 \end{aligned} \quad (1)$$

この符号はバースト誤り訂正可能長 $b=3$, $P_m(x)$ の位数 $e=7$, $c=5$, 最大符号長 $n_{max}=35$ である。

ハードによる Fire 符号の復号法を簡単に説明すると、まず、入力符号を $p(x)$ で割って、エラーパターンが一周期遅れて発生するのを利用して復号する方法がある。

つぎに、入力符号を $P_m(x)$, x^c+1 で別々に割り算するとエラーパターンが e シフトごとおよび c シフトごとに発生するのを利用して、両者の剰余の一致を検出することによって復号する方法がある。しかし、これらの方法はどちらも最大 $2n_{max}$ のシフト演算を必要とする。

つぎに、後者の復号法を発展させた高速復号法を説明する。入力符号を x^c+1 で割った剰余 (シンδροーム) $S_c(x)$ は周期 c でパターンを巡回する。したがって、 $S_c(x)$ を x^c+1 で割り算をしてゆき、シンδροームの $c-b$ 個の下位ビットがすべて零となったとき、シンδροームの上位 b ビットにエラーパターン

† High Speed Decoding Methods of Fire Codes by a Microcomputer by HIROKAZU OKANO (Tokuyama Technical College Department of Information Electronics).

†† 徳山工業高等専門学校情報電子工学科

$B(x)$ が検出でき、さらにその時の演算回数より r_c ($0 \leq r_c < c$) が算出される。エラーパターン位置を i とすると、次式が成立する。

$$i = r_c \pmod{c} \quad (2)$$

つぎに、 $P_m(x)$ に対するシンドロームが $B(x)$ となるシフト回数より r_p ($0 \leq r_p < e$) が算出され、次式が成立する。

$$i = r_p \pmod{e} \quad (3)$$

このとき中国人の剰余定理より i は次式で求まる。

$$i = A_c e r_c + A_p c r_p \pmod{n_{max}} \quad (4)$$

ここで、 A_c 、 A_p は次式を満足する整数である。

$$A_c e + A_p c = 1 \pmod{n_{max}} \quad (5)$$

(1) 式の生成多項式を用いる場合、 $A_c = A_p = 3$ であるから次式が成立する。

$$i = 21r_c + 15r_p \pmod{n_{max}} \quad (6)$$

この方法によれば、 $P(x)$ での剰余を求めてから、最大 $c+e$ 回のシフトで復号が行われる。

3. シフト演算法による Fire 符号の高速復号法

前項で概説した Fire 符号の高速復号法に基づいてマイクロコンピュータによるシフト演算法^{8)~11)}を用いた符号化および復号について述べる。

3.1 符号化

いま、符号長 32 ビット、入力符号長 24 ビット、チェックビット長 8 ビットである。入力符号 24 ビットにさらに 0 を 8 個付け加えたものを生成多項式に対応する $JOSU = 1011101011$ で割った剰余を求めれば、それがチェックビットであるから、8 個の 0 の所に剰余を MOD 2 で加算すれば、符号化が行われる。演算は文献 10) 11) のシフト演算法と同一であるので、詳細は省略する。ただし、符号長がレジスタ長より長いので最初の 16 ビットに対する剰余 8 ビットを求め、この剰余に続く 8 ビットの入力符号を加算してさらにその剰余を求める。この方法を用いれば、符号長が長い場合でも 16 ビットごとに剰余を求め、続く入力符号を足し込むという演算を繰返

し行うことによって、剰余を算出することができる。

3.2 高速シフト演算法による復号

高速復号法をソフトで実現する際には、少し工夫がいる。すなわち、ハードでは、 $P_m(x)$ と x^c+1 で並列に割り算を行うが、いま CPU が 1 つなので並列演

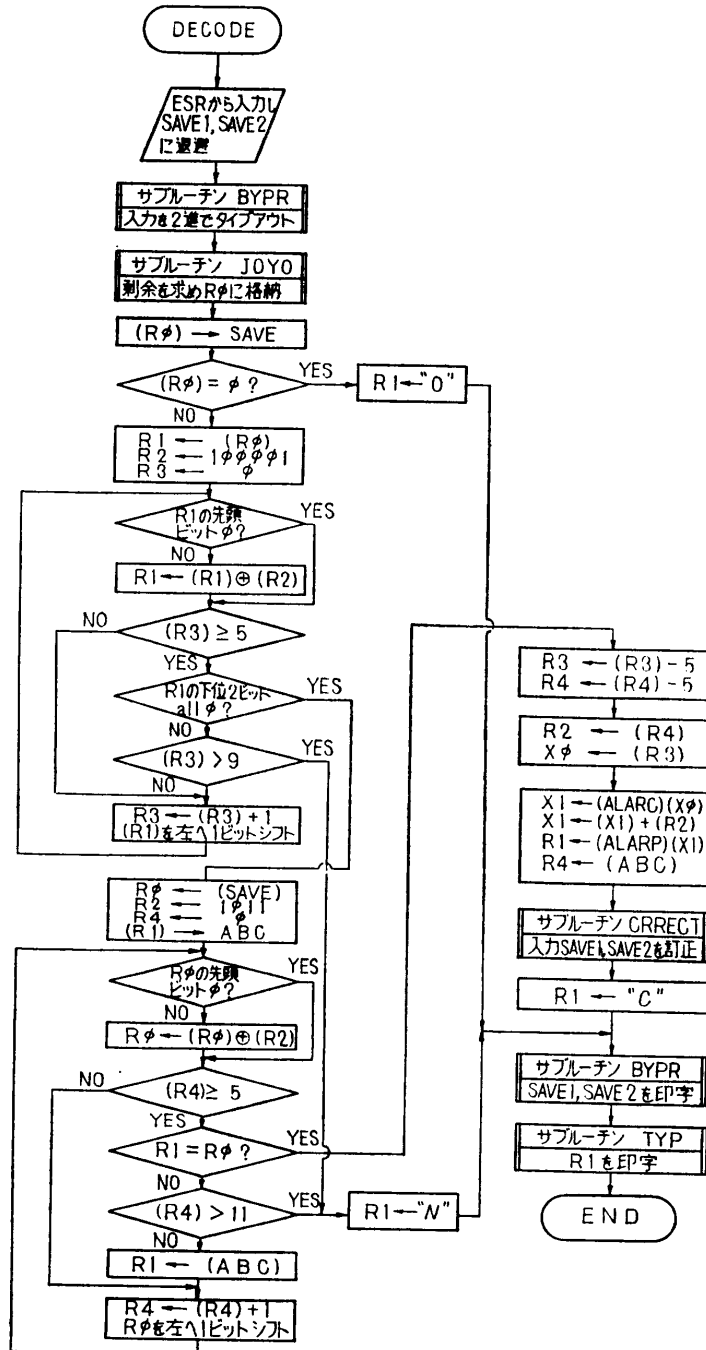


図 1 復号フローチャート (高速シフト演算法)
Fig. 1 Flow chart of the decoding program using high speed shift calculation method.

算ができないので、高速復号法のメリットが少なくなる。そこで、入力符号をまず $p(x)$ で割り剰余を求める。ついでこの剰余を $p_m(x)$, x^i+1 で割り算してそれぞれのシンδροームを求める。このシンδροームは上記並列演算によって求めたものと同一であることは明らかである。

つぎに、これらのシンδροームから r_c, r_p を求め、(6)式から誤り位置 i を求める。演算速度を早めるために、 r_c, r_p を与えて(6)式をあらかじめ計算しておく、誤り位置検出表として格納しておく。いま、 r_c は 0~4, r_p は 0~6 の値をとるので、誤り位置算出表は 35 語のテーブルである。

STNO.	LABEL	OP.	OPERANDS/COMMENT	STNO.	LABEL	OP.	OPERANDS/COMMENT
4		BGN	DECODE..X*0*	75		L	R1.(ALARP)(X1)
5		L	SP.SPAD	76		L	R4.ABC
6		RD	RO.X*04*	77		BAL	(CRRECT)
7		MV	R1.R0	78		MVI	R1.X*C3*
8		H		79		B	P9
9		RD	RO.X*04*	80	NOERR	MVI	R1.X*CF*
10		MV	R2.R0	81		B	P9
11		ST	R1.SAVE1	82	NOCRCT	MVI	R1.X*4E*
12		ST	R2.SAVE2	83	P9	MVI	RO.X*0A*
13		MVI	RO.X*0A*	84		BAL	(TYP)
14		BAL	(TYP)	85		L	RO.SAVE1
15		BAL	(TYP)	86		BAL	(BYPR)
16		MV	RO.R1	87		L	RO.SAVE2
17		BAL	(BYPR)	88		BAL	(BYPR)
18		MV	RO.R2	89		MVI	RO.X*10*
19		BAL	(BYPR)	90		BAL	(TYP)
22		BAL	(JOY0)	91		MV	RO.R1
24		ST	RO.SAVE	92		BAL	(TYP)
25		SKIP	RO.NZ	93		H	
26		B	NOERR	97		DS	XL24
27		MV	R1.R0	98	SPAD	DC	A(*-1)
28		L	R4.N10	99	*		
29		L	R2.N51	100	N51	DC	X*8400*
30		CLEAR	R3	101	N310	DC	X*B000*
31	P0	TBIT	R1.0.Z	102	N10	DC	X*0C00*
32		ECR	R1.R2	103	N9	DC	F*9*
33		L	RO.N5	104	N5	DC	F*5*
34		S	RO.R3.MZ	105	N11	DC	F*11*
35		B	P4	106	SAVE	DS	XL2
36		MV	RO.R1	107	ABC	DS	XL2
37		AND	RO.R4.NZ	108	S1	DS	XL2
38		B	P5	109	BYPR	EXTRN	BYPR
39		L	RO.N9	110	TYP	EXTRN	TYP
40		S	RO.R3.PZ	111	JOY0	EXTRN	JOY0
41		B	NOCRCT	112	CRRECT	EXTRN	CRRECT
42	P4	AI	R3.1	113		GLOBAL	SAVE1.SAVE2
43		SL	R1.RE	114	SAVE1	DS	XL2
44		B	P0	115	SAVE2	DS	XL2
45	P5	ST	R3.S1	116	ALARP	DC	A(*+1)
46		L	RO.SAVE	117		DC	F*0*
47		L	R2.N310	118		DC	F*15*
48		CLEAR	R4	119		DC	F*30*
49		ST	R1.ABC	120		DC	F*10*
50	P7	TBIT	RO.0.Z				(テーブル一部省略)
51		ECR	RO.R2	150		DC	F*19*
52		L	R3.N5	151		DC	F*34*
53		S	R3.R4.MZ	152	ALARC	DC	A(*+1)
54		B	P8	153		DC	F*0*
55		S	R1.RO.NZ	154		DC	F*7*
56		B	CRCT	155		DC	F*14*
57		L	R3.N11	156		DC	F*21*
58		S	R3.R4.PZ	157		DC	F*28*
59		B	NOCRCT	158		END	
60		L	R1.ABC				
61	P8	AI	R4.1				(出力例)
62		SL	RO.RE				
63		B	P7				
67	CRCT	L	R3.S1	11110000	11110000	11110000	10001101
68		L	R2.N5	11110000	11110000	11110000	10001101
69		S	R3.R2	11110000	11110001	00110000	10001101
70		S	R4.R2	11110000	11110000	11110000	10001101
71		MV	R2.R4				
72		MV	X0.R3				
73		L	X1.(ALARC)(X0)	11110000	11110011	00110000	10001101
74		A	X1.R2	11110000	11110011	00110000	10001101

図 2 復号プログラムとその出力例 (高速シフト演算法)

Fig. 2 The decoding program using high speed shift calculation method and its output data.

さて、図1に高速シフト演算法による復号のフローチャートを示す。受信入力符号32ビットは16ビットずつエントリースイッチ ESR より入力し、SAVE1 SAVE2 に退避しておく。 $n_{max}=35$ なので、入力符号に0を3つ付加し35ビットの入力符号と考えるとサブルーチン JOYO によって生成多項式に対応する $JOSU=101101011$ で割った剰余を求めレジスタ R0 に格納する。剰余を求める演算は符号化の場合と同じであるのでプログラム等は省略する。文献 10), 11) を参照されたい。さて、R0が0のとき誤りなし、R0が0でないならば、R0の内容をR1に移し、 x^5+1 での剰余を求めるためにR2に100001を格納する。R1をR2で割り算し、剰余の下位2ビットがall 0sのとき上位3ビットにバースト誤りパターン $B(x)$ が求まるので、ABC番地に退避する。このときの演算回数より r_c が求まる。

次に、 $P_m(x)$ での剰余を求めるためにR2に1011を格納し、R0をR2で割り算しその剰余がABC番地に格納した $B(x)$ のパターンと一致したときの演算回数より r_p が求まる。そして、メインプログラムの定数定義域の ALARP から格納しておいた誤り位置算出表を r_c, r_p によってテーブル・ルックアップして誤り位置 i を求めR1に格納する。

つぎに、ABC番地のエラーパターン、R1の誤り位置 i をもとにサブルーチン CRRECT によって誤りの訂正を行う。

図2に高速シフト演算法による復号プログラムリストとその出力例を示す。JOYO, CRRECT等のサブルーチンは紙面の都合で省略する。出力例のOは誤りなし、Cは訂正、Nは訂正不可能を示している。

4. テーブル・ルックアップ法による Fire 符号の高速復号法

マイクロコンピュータによって Fire 符号演算を行う場合、テーブルを使用すれば効率よく高速に演算することができる。これには剰余表と復号表または圧縮復号表を用いる。

4.1 符号化

符号化の演算は剰余表を用いて行う。剰余表は入力8ビットと入力8ビットに8個の0を付加したものを生成多項式で割ったときの剰余との対応表である。ここでは、剰余表の作成等については省略する。剰余表は、復号コードの後に入力8ビットパターン、スペー

スコードの後に剰余がそれぞれ16進でパンチしてある紙テープとして入力し、サブルーチン AA 16で2進に変換する。そして、テーブルの先頭番地 $(300)_{16}$ に8ビット入力符号を加えた番地にその剰余を格納する。したがって剰余表は $(300)_{16} \sim (3FF)_{16}$ 番地に格納される。

符号化するには、まずエントリースイッチ ESR よりの入力符号24ビットをSAVE1, SAVE2に格納し、SAVE1の上位8ビットをインデックスレジスタ X0に格納し、X0に剰余表の先頭番地を加えた番地の内容をR0に格納する。R0の内容は入力8ビットに対する剰余である。つぎに、SAVE1の下位8ビットを先に求めた剰余に加え新たな入力8ビットと考えると剰余を求める。この操作を3回繰返せば、8ビットのチェックビットを求めることができる。

図3は剰余表をメモリダンプしたものである。なお、符号化プログラム等は省略するが、同様の演算が復号プログラムにおいて使用されている。

4.2 標準形テーブル・ルックアップ法による復号

まず、符号化と同様にして剰余表を用いて入力符号の剰余を求める。そして復号表を用いて誤りの訂正を行う。この方法は文献 10), 11) のテーブル・ルックアップ法と同様であり、復号表とは誤りパターンとその剰余(シンδροーム)との対応表である。一般にこの標準形テーブル・ルックアップ法による復号表は、チェックビット長を k とすると 2^k 語を必要とする。いまの場合、256語である。この方法は、上記文献および次項を参照すれば容易に実現できるのでプログラム等は省略する。

4.3 圧縮形テーブル・ルックアップ法による復号

4.3.1 圧縮復号表

復号表にはエラーパターンのみを格納することが望ましい。高速復号法の原理を用いて復号表を小さくして圧縮復号表とすることができる。

すなわち、高速復号法は入力符号を x^6+1 , $P_m(x)$ で割った剰余 JOY1, JOY2 によって誤りの訂正ができることを示している。そして JOY1 により訂正

MDUMP 300.400

(0300)	0000	006B	0006	00B0	00C7	00AC	0011	007A
(0308)	00E5	008E	0033	0058	0022	0049	00F4	009F
								(省略)
(03E8)	003A	0051	00EC	0087	00FD	0096	002B	0040
(03F0)	007E	0015	00A8	00C3	0099	0002	006F	0004
(03F8)	0093	00F0	004D	0026	005C	0037	008A	00E1

図3 剰余表(メモリダンプ)

Fig. 3 The remainder table (Memory dump).

MEMDUMP 400.4A0

(0400)	0000	001B	0085	0403	4001	0011	0201	0023
(0408)	0021	002B	8001	0019	0043	0803	0401	0601
(0410)	0063	003B	0031	0C03	0185	C001	0083	0041
(省 略)								
(0478)	00C9	0000	3001	6003	0183	0303	0181	0381
(0480)	038B	0000	01C9	0703	E003	7001	01CB	00E9
(0488)	7003	0000	01C1	3801	0383	0000	0000	0000

図 4 圧縮復号表 (メモリダンプ)

Fig. 4 The compressed decoding table (Memory dump).

の可否を識別することができる。いま、5ビットよりなる JOY 1 は 0 を除いて 1 から 31 まであり、訂正可能な場合は、JOY 1 のそれぞれが 3 ビットの JOY 2 との組合せで 0 を除いて 7 個のエラーパターンを持つ。

そして、JOY 1 が誤り訂正可能なのは 20 通りなので、20 行×7 列の圧縮復号表となる。JOY 1, JOY 2 はそれぞれ昇順にならべる。こうして 256 語の標準形復号表は誤りパターンのみ 140 語の圧縮復号表として紙テープに作成され、さらに、 $(401)_{16} \sim (48C)_{16}$ 番地に格納される。

図 4 に圧縮復号表のメモリダンプリストを示す。なお、 $n_{max}=35$ の長さ 3 以下のパースト誤りは 140 種類 (4 種類のパターン×35) なので、これ以上テーブルは圧縮できない。

図 5 に格納するエラー訂正用パターンを示す。誤りパターンとその位置情報が格納され、符号長が長い場合でも一語に収めるようにするため、また復号時間を短くするための工夫がなされているが、詳細は省略する。

4.3.2 復号法

図 6 に圧縮形テーブル・ルックアップ法による高速復号フローチャートを示す。

前半は剰余表と圧縮復号表をメモリに格納するアル

(a) $i=31 \sim 28$		ABC 1 0 1 1
(b) 27~18		ABC 0 0 1 1
(c) 17~16		A, BC 0 1 0 1
	0	7 8 15
(d) 15~12		ABC 1 0 0 1
(e) 11~0		ABC 0 0 0 1
		X_1, X_2, X_3, X_4

制御信号

- X_4 : 4 ビット右シフト
- X_3 : 2 語にまたがる
- X_2 : 0~SAVE 1, 1~SAVE 2
- X_1 : 0~訂正不可, 1~訂正可

ただし i は誤り位置

図 5 誤り訂正用パターン

Fig. 5 Patterns for error correcting.

ゴリズム、後半は復号処理を行うアルゴリズムである。剰余表は $(300)_{16} \sim (3FF)_{16}$ 、圧縮復号表は $(401)_{16} \sim (48C)_{16}$ 番地に格納される。

さて、つぎに誤り訂正処理について述べる。受信入力符号をエントリースイッチ ESR より入力し、上位 16 ビットを SAVE 1, 下位 16 ビットを SAVE 2 に退避し、符号化の場合と同様にして剰余表をテーブル・ルックアップしながら剰余 (シンドローム) を求める。剰余が 0 であれば誤りはない。0 でない場合は剰余をさらに $JOSU 1=100001$, $JOSU 2=1011$ でシフト演算し剰余 JOY 1, JOY 2 を求める。

そして、サブルーチン ST 10 は JOY 1, JOY 2 をもとに圧縮復号表より誤り訂正用パターンをテーブル・ルックアップする。すなわち、定数定義域の ST 1 より訂正指示表を JOY 1 でテーブル・ルックアップし、その JOY 1 の行 (7 個の誤り訂正用パターンから成る) の圧縮復号表における先頭番地を X_0 に格納する。 X_0 が 0 であれば誤り訂正はできない。 X_0 が 0 でなければ X_0 に JOY 2 を加えた番地の内容をテーブル・ルックアップし R_0 に格納する。以上の動作で圧縮復号表より誤り訂正用パターンが R_0 に格納されたので、続いてサブルーチン COORE によって誤り訂正用パターンをもとに誤り訂正を行う。サブルーチン COORE の動作は省略する。

図 7 に圧縮形テーブル・ルックアップ法による高速復号プログラムを示す。出力例は図 2 と同様なので省略する。また、図 8 にサブルーチン ST 10 の中で使用される訂正指示表の一部を示す。なお、サブルーチン ST 10 のプログラムは省略する。

5. 各種復号法の比較

前項までに述べてきたように、ソフトによる Fire 符号の復号法としてはシフト演算法、高速シフト演算

61	*****	TABLE ST1	*****
62	TBAD	DC	A(ST1)
63	ST1	DC	X*401*
64		DC	X*408*
65		DC	X*40F*
(省 略)			
89		DC	X*0*
90		DC	X*486*
91		DC	X*0*
92		DC	X*0*
93		DC	X*0*

図 8 訂正指示表 (サブルーチン ST 10 用)

Fig. 8 The instruction table for error correcting (used in subroutine ST 10).

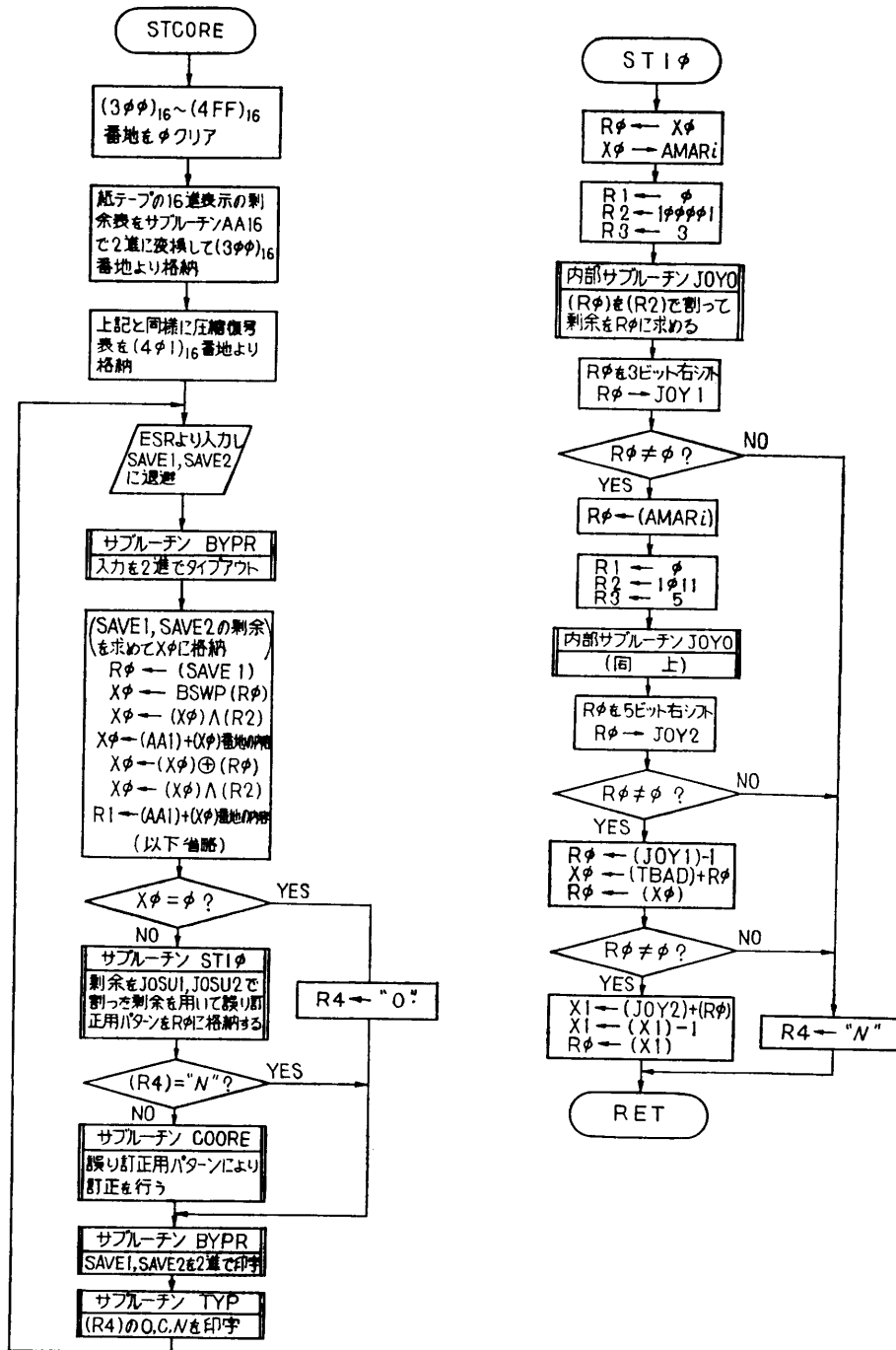


図 6 復号フローチャート (圧縮形テーブル・ルックアップ法)
Fig. 6 Flow chart of the decoding program using compressed table look-up method.

STNO.	LABEL	OP.	OPERANDS/COMMENT	STNO.	LABEL	OP.	OPERANDS/COMMENT
1		BGN	SCORE..X'0'	70		BAL	(TYP)
2		L	SP,SPAD	71		L	RO.SAVE1
3		CLEAR	X1	72		BAL	(BYPR)
4		L	R0.N1	73		L	RO.SAVE2
5	BH	L	R1.N1	74		BAL	(BYPR)
6		CLEAR	X0	75		L	R4.AA1
7		S	R1.RO.Z	76		ST	R4.AA
8		B	B0	77		L	R2.FF
9		L	R1.AA1	78		L	RO.SAVE1
10		B	B1	79		BSWP	X0.R0
11	B0	L	R1.AA2	80		AND	X0.R2
12	B1	ST	R1.AA	81		L	X0.(AA)(X0)
13	B4	ST	X1.(AA)(X0)	82		EOB	X0.R0
14		L	R1.BB	83		AND	X0.R2
15		S	R1.X0.Z	84		L	R1.(AA)(X0)
16		B	B2	85		L	RO.SAVE2
17		B	B3	86		BSWP	X0.R0
18	B2	AI	X0.1	87		EOB	X0.R1
19		B	B4	88		AND	X0.R2
20	B3	L	R1.N1	89		L	X0.(AA)(X0)
21		S	RO.R1	90		EOB	X0.R0
22		SKIP	RO.M	91		AND	X0.R2
23		B	BH	92		SKIP	X0.MZ
24		L	R1.N2	93		B	OK
25		ST	R1.DATA	94		BAL	(ST10)
26	F0	H		95		CLEAR	R1
27	F1	BAL	(PTR16)	96		MVI	R1.X'4E'
28		CLEAR	R1	97		S	R1.R4.MZ
29		MVI	R1.X'0A'	98		B	PRI
30		S	R1.RO.Z	99		BAL	(CORE)
31		B	F1	100	PRI	MVI	RO.X'0A'
32		BAL	(PTR16)	101		BAL	(TYP)
33		CLEAR	R1	102		L	RO.SAVE1
34		MVI	R1.X'A5'	103		BAL	(BYPR)
35		S	R1.RO.Z	104		L	RO.SAVE2
36		B	F2	105		BAL	(BYPR)
37		L	R1.AA1	106		MVI	RO.X'A0'
38		B	F3	107		BAL	(TYP)
39	F2	CLEAR	R1	108		MV	RO.R4
40		MVI	R1.X'A6'	109		BAL	(TYP)
41		S	RO.R1.Z	110		B	B11
42		B	ERR	111	OK	MVI	R4.X'CF'
43		L	R1.AA2	112		B	PRI
44	F3	ST	R1.AA	113	ERR	MVI	RO.X'3F'
45	F4	MVI	R2.X'0A'	114		BAL	(TYP)
46		BAL	(AA16)	115		BAL	(TYP)
47		MV	X0.R2	116		S	BH
48		L	R1.BB	117	H1	DC	X'1'
49		S	R2.R1.MZ	118	H2	DC	X'2'
50		B	F5	119	AA1	DC	X'300'
51		MVI	R2.X'A0'	120	AA2	DC	X'400'
52		BAL	(AA16)	121	SB	DC	F'255'
53		MV	R4.R2	122	FF	DC	X'00FF'
54		ST	R4.(AA)(X0)	123	AA	DS	XL2
55		B	F4	124		GLOBAL	SAVE1,SAVE2
56	F5	L	R1.DATA	125	SAVE1	DS	XL2
57		L	R2.N1	126	SAVE2	DS	XL2
58		S	R1.R2	127	DATA	DS	XL2
59		ST	R1.DATA	128		DS	XL30
60		SKIP	R1.Z	129	SPAD	DC	A(*-1)
61		B	F0	130	PTR16	EXTRN	PTR16
62	B11	H		131	AA16	EXTRN	AA16
63		RD	RO.X'04'	132	CORE	EXTRN	CORE
64		ST	RO.SAVE1	133	TYP	EXTRN	TYP
65		H		134	BYPR	EXTRN	BYPR
66		RD	RO.X'04'	135	ST10	EXTRN	ST10
67		ST	RO.SAVE2	136		END	
68		MVI	RO.X'0A'				
69		BAL	(TYP)				

図 7 復号プログラム (圧縮形テーブル・ルックアップ法)

Fig. 7 The decoding program using compressed table look-up method.

表 1 Fire 符号の復号法の比較
Table 1 Decoding performance of some Fire codes.

訂正可能バースト長	3	5	7	
生成多項式	$\frac{(x^3+x+1)}{(1+x^2)}$	$\frac{(x^5+x^3+1)}{(1+x^2)}$	$\frac{(x^7+x^3+1)}{(1+x^2)}$	
チェックビット長	8	14	20	
最大符号長	35	279	1651	
シフト演算法	復号時間の上限	4.0(1.5)	31.6(12.0)	186.6(71.0)
	復号時間の上限	0.18(0.07)	0.75(0.65)	10.4(10.3)
標準形テーブル・ルックアップ法	剰余表	256	256	512
	復号表	256	16K	2M
圧縮形テーブル・ルックアップ法	復号時間の上限	0.53(0.07)	1.3(0.65)	11.2(10.3)
	剰余表	256	256	512
	訂正指示表	32	512	8192
	復号表	140	4.5K	212K
高速シフト演算法	復号時間の上限	2.2(1.0)	12.5(9.6)	145(137)
	誤り位置算出表	35	279	1651
ハイブリッド演算法	復号時間の上限	1.2(0.07)	3.6(0.65)	18(10.3)
	剰余表	256	256	512
	誤り位置算出表	35	279	1651

(注 1) 復号時間の上限 () 内は剰余算出時間, 単位 ms.
(注 2) 各表の大きさの単位は語, K は 10^3 , M は 10^6

法, 標準形テーブル・ルックアップ法, 圧縮形テーブル・ルックアップ法がある。ここで, これらの復号法を比較し, 最適な復号法を検討することとする。さて, 復号時間を短くするには標準形テーブル・ルックアップ法がよいが, 復号表のために大きなメモリが必要である。高速シフト演算法は前者より復号時間が長くなるが, 誤り位置算出表のための少しのメモリを必要とするのみである。そして, 高速シフト演算法の復号時間は剰余算出時間で占められ符号長が長くなるほどこの傾向は著しい。これらのことから最適復号法は剰余の算出を剰余表を使ったテーブル・ルックアップ法により行い, それ以後の誤りの訂正を高速シフト演算法によって行う方法であることが分かる。この方法をハイブリッド演算法と呼ぶこととする。

表 1 に以上述べた復号法の比較を示す。なお, 訂正可能バースト長が 7 の場合, チェックビットが 1 語長 (16 ビット) を越えるので, 各テーブルの 1 パターンが 2 語長となり, シフト演算も倍長演算を仮定して演算時間を計算してある。

さて, 4800 ボーの通信回線を例にとると 1 パルス幅は $208 \mu s$ である。一方, 訂正可能バースト長 5 のとき, 最大符号長を用いたとすると, 入力符号 1 パル

ス当りの復号時間はハイブリッド演算法によると約 $13 \mu s$ であり, このとき 256 語の剰余表と 279 語の誤り位置算出表を用いるのみで良い。

したがって, ハイブリッド演算法は 4800 ボーおよび 48K ボーの高速データ通信回線に対しても有効であり, ソフトによる Fire 符号の実用化が十分に期待される。

6. むすび

Fire 符号の高速復号法として, 復号時間, メモリ容量等総合的に評価した場合, ハイブリッド演算法が最も優れており, 高速データ通信回線に対して, ソフトによる実用化が可能であることを示した。

さらに, BCH 符号等に対しても, ソフト化の検討を行いたい。また, ROM, マイクロプログラム技術を応用したより高速な復号法を開発したいと思う。

最後に, 日頃ご指導頂く広島大学工学部川野董教授に深甚なる謝意を表すとともに, プログラムの作成に協力頂いた本学守川和夫講師, 学生桂哲也君, 山本聰君に感謝の意を表します。

参考文献

- Peterson, W. W. and Weldon, E. J.: Error-Correcting Codes, 2nd Edition, MIT press, Mass (1972).
- Berlekamp, E. R.: Algebraic Coding Theory, McGraw-Hill Book co., New York (1968).
- 宮川, 岩垂, 今井: 符号理論, 昭晃堂 (1973).
- 嵩, 都倉, 岩垂, 稲垣: 符号理論, コロナ社 (1975).
- 今井, 藤谷: 復号の簡単な誤り訂正符号の一構成法, 信学論 (A), J 62-A, 5 (1979).
- 杉村, 笠原, 滑川: 復号の容易な能率の良い多重誤り訂正符号の一構成法, 信学論 (A), J 61-A, 11 (1978).
- 桑原, 西野, 岡野, 米岡: Fire Code を用いた無線印刷電信方式, 信学論 (B), 56-B, 7 (1973).
- 岡野: ソフトプログラム(HPL)による Fire 符号の演算とその解析, 信学技報, AL 76-33 (1976).
- 岡野: PL/1 による Fire 符号のシミュレーションプログラム, 情報処理, Vol. 18, No. 12 (1977).
- 岡野: マイクロコンピュータによる Fire 符号のシミュレーションプログラム—データ通信への応用—, 信学技報, CS 79-145, No. 8 (1978).
- 岡野: マイクロコンピュータによる Fire 符号のシミュレーションプログラム—データ通信への応用—, 情報処理学会論文誌, Vol. 20, No. 6 (1979).

(昭和 54 年 11 月 19 日受付)
(昭和 55 年 5 月 15 日採録)